

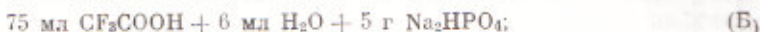
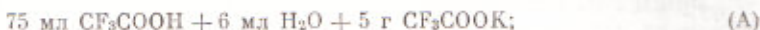
ХИМИЯ

Н. Б. КАЗЬМИНА, Л. С. ГЕРМАН, академик И. Л. КНУНЯНЦ

**ЭЛЕКТРОЛИЗ ТРИФТОРУКСУСНОЙ КИСЛОТЫ НА ОКИСЛЕННОМ ПЛАТИНОВОМ ЭЛЕКТРОДЕ**

Электролиз солей перфторкарбоновых кислот в значительно большей степени зависит от изменения условий электролиза, нежели электролиз их нефторированных аналогов. Механизм образования разнообразных соединений при электролизе перфторкарбоновых кислот, связанный с рекомбинацией различных радикалов, остается в ряде случаев далеко не ясным.

В работе изучен электролиз водной трифтоторуксусной кислоты для растворов:



Показано, что при высоких плотностях тока образуется бис-трифторметил-перекись, содержание которой в смеси фторированных продуктов достигает 80 %. Неожиданное образование в качестве основного продукта бис-трифторметил-перекиси при электролизе водной трифтоторуксусной кислоты поставило вопрос о выяснении механизма этого процесса.

В основу обсуждения полученных результатов положено предположение, что образование  $\text{CF}_3\text{OOCF}_3$  происходит в результате рекомбинации  $\text{CF}_3\text{O}'$ -радикалов. Теоретически возможными казались два пути возникновения  $\text{CF}_3\text{O}'$ -радикала: а) совместный электролиз воды и трифтоторуксусной кислоты и б) восстановление поверхностной окисной пленки электрода  $\text{CF}_3'$ -радикалами.

Поскольку разряд воды начинается до разряда трифтоторуксусной кислоты, при потенциале разряда  $\text{CF}_3\text{COOH}$  эти конкурирующие реакции происходят одновременно, и в области потенциалов от 0 до 3 в  $E_{\text{н}}$  на аноде образуются  $\text{C}_2\text{F}_6$ ,  $\text{CO}_2$  и  $\text{O}_2$  (<sup>1</sup>). При 3,1 в наряду с продуктами реакции Кольбе обнаруживается бис-трифторметил-перекись (менее 5 % (<sup>2</sup>)).

Ранее было показано, что при одновременном разряде воды и трифтоторуксусной кислоты наблюдается некоторое ингибирование реакции Кольбе (реакции (4), (5)) за счет частичного покрытия поверхности электрода окисной пленкой (реакция (3)) (<sup>1</sup>):



Предполагается, что полное ингибирование реакции Кольбе в этих условиях означает полное покрытие электрода окисной пленкой. Оказалось, что полное покрытие электрода окисной пленкой может быть достигнуто подготовкой электрода в процессе электролиза. Время подготовки зависит от условий электролиза. Так, при одинаковых прочих условиях повышение

плотности тока сокращает время подготовки электрода. Известно, что  $\text{HPO}_4^{2-}$ -анион облегчает окисление воды в присутствии ацетат-ионов, понижая перенапряжение кислорода<sup>(3)</sup>. Действительно, при замене трифторацетат-аниона (раствор А) на  $\text{HPO}_4^{2-}$ -анион (раствор Б) также наблюдается более быстрое ингибирование реакции Кольбе (рис. 1). Наибольший эффект, однако, достигается после предварительного электролиза воды, при котором, очевидно, поверхность электрода покрывается окисной пленкой (рис. 1).

При достижении полного покрытия разряд трифторуксусной кислоты и воды должен происходить на поверхности электрода, покрытой окисной пленкой.

При этом рекомбинация  $\text{CF}_3^{\cdot}$ -радикалов с радикалами кислорода (из воды) либо взаимодействие  $\text{CF}_3^{\cdot}$ -радикалов с поверхностной окисью может приводить к образованию  $\text{CF}_3\text{O}^{\cdot}$ -радикалов:

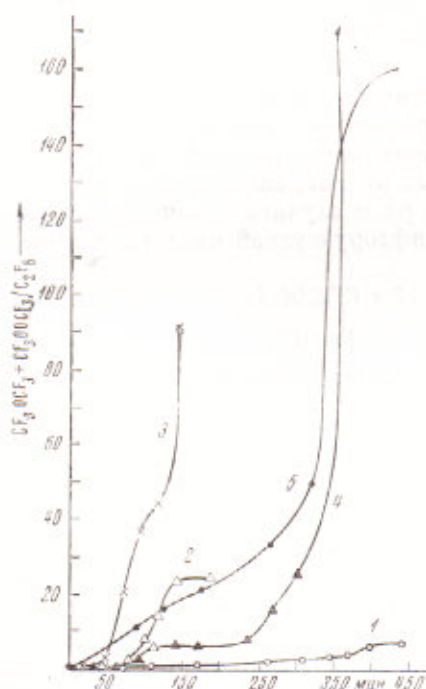
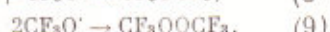


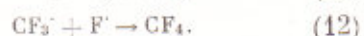
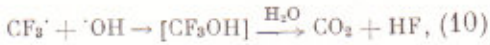
Рис. 1. Изменение соотношения  $\text{CF}_3\text{OCF}_3 + \text{CF}_3\text{OOCF}_3 / \text{C}_2\text{F}_6$  во времени. 1—4 — раствор А: плотность тока  $5 \cdot 10^{-2}$  а/см<sup>2</sup> (1), 1 а/см<sup>2</sup> (2), после электролиза воды 1 а/см<sup>2</sup> (3), плотность тока растет от  $1 \cdot 10^{-2}$  а/см<sup>2</sup> (разрушение электрода) (4); 5 — раствор Б, плотность тока  $6,3 \cdot 10^{-1}$  а/см<sup>2</sup>

$\text{CF}_3\text{COO}^-$ -аниона мала, а в продуктах электролиза обнаруживаются только  $\text{O}_2$  и  $\text{CO}_2$ .

Совершенно очевидно, что  $\text{CO}_2$  в этом случае образуется не только за счет реакции (4), но также и в результате реакции (10), поскольку образования  $\text{C}_2\text{F}_6$  не наблюдается. Другими словами, рассматриваемая реакция представляет собой чистый случай совместного электролиза воды и трифторуксусной кислоты. Отсутствие в продуктах реакции  $\text{CF}_3\text{OCF}_3$  и  $\text{CF}_3\text{OOCF}_3$  свидетельствует о том, что рекомбинация  $\text{CF}_3^{\cdot}$ -радикалов с радикалами кислорода из воды (реакция (7)) в условиях совместного электролиза трифторуксусной кислоты и воды не происходит.

По-видимому, образование  $\text{CF}_3\text{O}^{\cdot}$ -радикалов осуществляется за счет восстановления окисной пленки  $\text{CF}_3^{\cdot}$ -радикалами (реакция (6)). Наблюдаемое при этом разрушение поверхности электрода и выделение металлической платины в электролите подтверждает это предположение. В при-

Образующиеся при разряде воды  $\text{OH}^{\cdot}$ -радикалы также могут рекомбинировать с  $\text{CF}_3^{\cdot}$ -радикалами с образованием  $\text{HF}$ ,  $\text{CO}_2$  и  $\text{CF}_4$ :



Реакции (10) — (12), по-видимому, действительно имеют место, так как количество образующегося  $\text{CO}_2$  больше ожидаемого по реакции (4), в электролите присутствует  $\text{F}^-$ , а в продуктах электролиза обнаружен тетраформетан.

Выбор между реакциями (6) и (7) может быть сделан при рассмотрении случая электролиза водного раствора трифторуксусной и серной кислот (раствор В), когда концентрация

существии воды одновременно может происходить вторичное образование окиси на поверхности электрода, что приводит к полному разрушению электрода при длительных процессах.

Интересно отметить, что после достижения полного покрытия электрода окисной пленкой размыкание цепи на несколько часов при возобновлении электролиза приводит к появлению гексафторэтана. Как известно, после размыкания цепи при остаточных потенциалах, близких к 0,3 в  $E_h$  на электродах имеет место адсорбция водорода (4), в результате которой, вероятно, происходит частичное восстановление поверхностной окиси.

Исходя из сделанных предположений о механизме электролиза водной трифтормусской кислоты на электроде, покрытом окисной пленкой, и на основании соотношения анодных продуктов можно показать, что  $\sim 57\%$  образующихся  $\text{CF}_3^{\cdot}$ -радикалов взаимодействует с поверхностной окисью (реакция (6)) и  $\sim 36\%$  рекомбинирует с  $\text{OH}^{\cdot}$ -радикалами (реакция (10)).

Таким образом, предполагается, что образование  $\text{CF}_3\text{OCF}_3$  и  $\text{CF}_3\text{OOCF}_3$  происходит за счет восстановления поверхностной окиси  $\text{CF}_3^{\cdot}$ -радикалами, а роль воды сводится к образованию окисной пленки на поверхности металла.

Анализ продуктов осуществлялся с помощью г.ж.х. и масс-спектрометрии. Хроматографический анализ смесей проводился на хроматографе ХТ-7 с детектированием по плотности на сорбенте порапак Q при 20°. Длина колонки 3 м, газ-носитель — азот. Количественные расчеты велись на сумму всех продуктов с использованием поправочных коэффициентов, полученных по формуле  $K = \text{м.в.} / (\text{м.в.} - 28)$ , где м.в. — молекулярный вес вещества.

Строение  $\text{CF}_3\text{OCF}_3$  и  $\text{CF}_3\text{OOCF}_3$  доказано масс-спектрометрически совпадением спектров полученных нами соединений с описанными в литературе (5, 6). Электролиз растворов А, Б и В проводился при 5°.

Раствор А:  $\text{CF}_3\text{COOH}$  (75 мл) +  $\text{H}_2\text{O}$  (6 мл) +  $\text{CF}_3\text{COOK}$  (5 г).

1) Анод — платиновая пластинка ( $4 \text{ см}^2$ ), катод — две платиновые проволоки (диаметр 0,1 см). Сила тока 0,4 а, плотность тока  $5 \cdot 10^{-2} \text{ а/см}^2$ , напряжение 15—20 в. В первые 2 часа электролиза образуются только  $\text{C}_2\text{F}_6$ ,  $\text{CO}_2$ ,  $\text{CF}_4$  и  $\text{O}_2$ , затем в продуктах обнаруживаются небольшие количества бис-трифторметилового эфира (I). Через 6 час. наблюдается появление бис-трифторметил-перекиси (II), количества которой растут во времени (до 30% в смеси фторированных продуктов через 7 час. после появления) с одновременным падением выхода гексафторэтана до 46% (рис. 1). В состав смеси входят также  $\text{CF}_4$  (19%) и (I) (5%).

2) Анод и катод — платиновые проволоки диаметром 0,1 см. Площадь поверхности анода  $1,256 \text{ см}^2$ . Сила тока 1,3 а, плотность тока  $1 \text{ а/см}^2$ , напряжение 25—40 в. Образование I и II паряду с  $\text{C}_2\text{F}_6$ ,  $\text{CF}_4$ ,  $\text{CO}_2$  и  $\text{O}_2$  наблюдается с самого начала электролиза. Через 3 часа в смеси фторированных продуктов содержится около 5% I, 82% II, 4,5%  $\text{C}_2\text{F}_6$  и 8%  $\text{CF}_4$ .

3) Анод — платиновая проволока диаметром 0,1 см, катод — платиновая пластинка ( $11,2 \text{ см}^2$ ). Поверхность анода  $1,256 \text{ см}^2$ . Сила тока 1,3 а, плотность тока  $1 \text{ а/см}^2$ , напряжение 25—40 в. Электролиз раствора А проводили после 6-часового электролиза воды. Образование I и II (паряду с  $\text{C}_2\text{F}_6$ ,  $\text{CF}_4$ ,  $\text{CO}_2$  и  $\text{O}_2$ ) наблюдается сразу после начала электролиза. Состав фторированных продуктов через 1 час 15 мин.: 11,6% I, 64,5% II, 20%  $\text{CF}_4$  и 3,7%  $\text{C}_2\text{F}_6$ .

Раствор Б:  $\text{CF}_3\text{COOH}$  (75 мл) +  $\text{H}_2\text{O}$  (6 мл) +  $\text{Na}_2\text{HPO}_4$  (5 г). Анод и катод — платиновые проволоки диаметром 0,1 см. Поверхность анода  $1,256 \text{ см}^2$ . Сила тока 0,8 а, плотность тока  $6,3 \cdot 10^{-1} \text{ а/см}^2$ , напряжение 6—11 в. I и II, паряду с  $\text{C}_2\text{F}_6$ ,  $\text{CF}_4$ ,  $\text{CO}_2$  и  $\text{O}_2$ , образуются на неподготовленном электроде. Увеличение выхода II в процессе электролиза сопровождается уменьшением количеств  $\text{C}_2\text{F}_6$ . Через 6 час. смесь фторированных продуктов содержит: 9% I, 78% II и 13%  $\text{CF}_4$  (рис. 1). За последующие 6 час. электролиза (смесь газов пропускали через аскарит для удале-

ния  $\text{CO}_2$  и затем конденсировали в ловушке, охлаждаемой до  $-100^\circ$ ) получено 2 г смеси фторированных продуктов (выходы продуктов по току см. табл. 1).

Таблица 1

Анодные продукты и $\text{H}_2$	Состав смеси, %	Выход по току, %	Состав сконденсированной смеси, %
$\text{O}_2$	35,98	27,0	
$\text{CO}_2$	46,93		
$\text{CF}_2$	2,09	0,78	12,9
$\text{CF}_3\text{OCF}_3$	1,41	1,06	8,9
$\text{CF}_3\text{OOCF}_3$	12,69	14,3	78,2
$\text{H}_2$	0,85		

Раствор В:  $\text{CF}_3\text{COOH}$  (25 мл) +  $\text{H}_2\text{O}$  (2 мл) +  $\text{H}_2\text{SO}_4$  (0,5 мл). Анод — платиновый цилиндр, катод — платиновая проволока диаметром 0,1 см. Поверхность анода  $46,5 \text{ см}^2$ . Сила тока 0,2 а, плотность тока  $4,3 \cdot 10^{-3} \text{ а/см}^2$ , напряжение 8—10 в. Анодные продукты электролиза:  $\text{CO}_2$  и  $\text{O}_2$ .

Институт элементоорганических соединений  
Академии наук СССР  
Москва

Поступило  
17 III 1974

#### ЦИТИРОВАННАЯ ЛИТЕРАТУРА

- <sup>1</sup> B. E. Conway, A. K. Vlijh, J. Phys. Chem., **71**, 3637 (1967). <sup>2</sup> F. Swarts, Bull. Soc. chim. Belg., **42**, 102 (1933). <sup>3</sup> Ю. Б. Васильев, Автореф. кандидатской диссертации, М., 1962. <sup>4</sup> R. Woods, Elektrochim. acta, **15**, 815 (1970). <sup>5</sup> P. G. Thompson, J. Am. Chem. Soc., **89**, 4316 (1967). <sup>6</sup> E. M. Chait, W. B. Askew, C. B. Matthews, Org. Mass Spectr., **2**, 1135 (1969).